

## بررسی اثر سندروم کلستاز بر تغییرات بافتی هسته‌های مجاور بطنی و فوق بصری هیپوتالاموس مغز موش‌های صحرایی نر نژاد ویستار

فاطمه قارونی<sup>۱</sup>، شهربانو عریان<sup>۱</sup>، محمد نبیونی<sup>۲</sup>، دلارام اسلیمی اصفهانی<sup>\*۳</sup>، منیژه کریمیان پیرو<sup>۱</sup> و سودابه پارسا<sup>۱</sup>

دریافت: ۱۳۹۲/۷/۲۸ پذیرش: ۱۳۹۳/۱۲/۱

<sup>۱</sup>گروه علوم جانوری، دانشکده علوم زیستی، دانشگاه خوارزمی، تهران

<sup>۲</sup>گروه علوم سلولی و مولکولی، دانشکده علوم زیستی، دانشگاه خوارزمی، تهران

\*مسئول مکاتبات: eslimi@knu.ac.ir

**چکیده.** کلستاز در اثر تجمع بیش از حد صفراء در کبد به علت عوامل درون یا بیرون کبدی ایجاد می‌شود. عوارض کلستاز مستقیم یا غیرمستقیم با کاهش جریان صفراء در ارتباط است و نتیجه آن احتباس مواد وابسته به ترشح صفراء (مانند اسیدهای صفراء، بیلی روین و کلسترول) است. از طرف دیگر عواملی نظیر اپوئیدها، آنکالین-فسفاتاز، اندوتوکسین‌ها و نیتریک اکساید در خون افزایش می‌یابد که می‌تواند باعث آسیب بافتی شود. از آنجاکه اخذ آب در هنگام کلستاز کاهش می‌یابد و هسته‌های هیپوتالاموسی مانند هسته مجاور بطنی و هسته فوق بصری در تنظیم میزان آب بدن نقش دارند، این تحقیق به بررسی تغییرات بافتی این هسته‌ها در هنگام کلستاز پرداخته است. موش‌های نر نژاد ویستار با وزن ۲۰۰ تا ۲۵۰ گرم به صورت تصادفی به سه گروه هفت تایی، شامل موش‌های گروه کنترل (بدون جراحی)، موش‌های گروه شم (عمل جراحی کاذب) و موش‌های گروه کلستاز، که مجرای صفراء آنها بسته شد، تقسیم شدند. سپس نمونه‌ها از نظر بافتی و با استفاده از روش هیستوتکنیک و میکروسکوپ نوری تحت ارزیابی فرار گرفتند. در مغز موش‌های کلستازیک، نکروز در بافت هسته‌های مجاور بطنی و فوق بصری نسبت به بافت این هسته‌ها در مغز موش‌های شم و کنترل به طور چشم گیری مشاهده شد. در اثر کلستاز و نکروز بافتی، هتروکروماتینه شدن برخی سلول‌ها و افزایش ضخامت در هسته‌های مجاور بطنی و فوق بصری نیز اتفاق افتاد. احتمال دارد که کلستاز از طریق افزایش اندوتوکسین‌ها باعث ایجاد آسیب بافتی شود.

**واژه‌های کلیدی.** اسیدهای صفراء، بیلی روین، کلسترول، اندوتوکسین، نکروز

## The histopathological effects of cholestasis on hypothalamic paraventricular and supraoptic nucleus on male wistar rats

Fatemeh Gharoony<sup>1</sup>, Shahrbano Oryan<sup>1</sup>, Mohammad Nabiuni<sup>2</sup>, Delaram Eslimi Esfahani<sup>1\*</sup>, Talieh Sadat Hosseyninia<sup>1</sup>, Manijeh Karimian Peiro<sup>1</sup> and Soudabeh Parsa<sup>1</sup>

Received 20.10.2013 / Accepted 20.02.2015

<sup>1</sup>Department of Animal Biology, Faculty of Biological Sciences, Kharazmi University, Tehran, Iran

<sup>2</sup>Department of Cell and Molecular Biology, Faculty of Biological Sciences, Kharazmi University, Tehran, Iran

\*Correspondent author: eslimi@knu.ac.ir

**Abstract.** Cholestasis caused by the excessive accumulation of bile within the liver, due to intrinsic or extrinsic factors. Cholestasis side effects are associated directly or indirectly with the reduction of bile flow and the confinement of materials related to bile secretion (such as bile acids, bilirubin, and cholesterol). On the other hand, some factors such as opioids, alkaline phosphatase, endotoxin and nitric oxide increase in blood, which could cause tissue damage. Since water intake reduces during cholestasis and hypothalamic nuclei such as paraventricular and supraoptic nucleuses are involved in the regulation of body water; Therefore, in this study, the histopathological changes of hypothalamic nuclei were evaluated. Male Wistar rats weighing 200–250 g were randomly divided into three groups. Three sets of seven groups were unoperated control, sham-operated and bile duct-ligated rats. The tissue samples were analyzed using histotechnique and light microscope. Brain tissue necrosis in paraventricular and supraoptic nucleus in cholestatic rats increased, but in the sham and control rats no changes were observed and also cholestasis caused wrinkle chromatic nuclei and increased thickness of hypothalamic nuclei. Because endotoxin causes tissue trauma, it is likely increased endotoxin may leads to tissue changes in the brain.

**Keywords.** bile acids, bilirubin, cholesterol, endotoxin, necrosis

**مقدمه**

به واسطه حفره بطن سوم به طور قرینه به دو نیمة راست و چپ تقسیم می‌شود و کف و دیواره‌های بطن سوم را تشکیل می‌دهد. در هیپوتالاموس هسته‌هایی وجود دارند که از اجتماع پریکاریون نورون‌ها به وجود آمده‌اند. کلیه اعمال و فعالیت‌های هیپوتالاموس واپسیه به یکی از این هسته‌ها یا تعدادی از آنهاست. این هسته‌ها از طریق اعصاب و عروق با غده هیپوفیز ارتباط دارند. دو هسته مجاور بطنی (PVN) و فوق بصری (SON) در اخذ آب نقش دارند و با آزادسازی هورمون واژوپرسین میزان جذب آب بدن را افزایش و احساس تشنجی را از بین می‌برند. این هسته‌های هیپوتالاموسی از سلول‌های درشت (ماگنولولا) و سلول‌های کوچک (پاروی سلولار) تشکیل شده‌اند (Oryan & Valizadegan, 2009).

نوشیدن آب پاسخی به کاهش حجم خون است که به وسیله دو سازوکار متفاوت آغاز می‌شود؛ یک نوع آن زمانی است که مکانورسپتورهایی پیام تحریکی خود را برای نوشیدن از طریق هسته متزوی (solitary tract) به مراکز هیپوتالاموسی ارسال می‌کنند. مرکز تنظیمی مهم دیگری که در اخذ آب نقش دارد، سیستم رنین-آثیوتینسین است که کلیه‌ها با کاهش فشار خون رنین را به جریان خون آزاد می‌کنند. رنین مسیری را فعال می‌کند که رفتار نوشیدن آب را با تحریک سلول‌های ماگنولولا SON و PVN موجب می‌شود و در این مورد آثیوتینسین II همانند نوروترنسمیتر عمل می‌کند (Otsubo *et al.*, 2010). همچنین نشان داده است که تحریک PVN اخذ آب را افزایش می‌دهد (Takahashi *et al.*, 2001).

با توجه به اینکه مرکز تنظیم تشنجی و نوشیدن در هسته‌های مجاور بطنی و فوق بصری قرار دارد و اخذ آب در هنگام کلستاز کاهش می‌یابد (Mani *et al.*, 2001)، هدف مطالعه حاضر بررسی تأثیر کلستاز بر تغییرات بافتی هسته‌های مجاور بطنی و فوق بصری هیپوتالاموس است.

**مواد و روش‌ها****حیوانات و شرایط آزمایش**

این مطالعه در آزمایشگاه فیزیولوژی جانوری دانشکده علوم زیستی دانشگاه خوارزمی تهران انجام شد. به این منظور ۲۱ سر

کلستاز از نظر فیزیولوژیک، به توقف یا کاهش جریان صakra در کانالیکول‌های صفراوی گفته می‌شود (Reyes *et al.*, 1993). کلستاز براساس منشأ شامل دو نوع داخل کبدی و خارج کبدی است. کلستاز داخل کبدی بر اثر اختلال در عملکرد هپاتوسیت‌ها و کلستاز خارج کبدی به دلیل عواملی نظیر سنگ‌های صفراوی، (Moezi *et al.*, 2004) اثرات اولیه کلستاز شامل افزایش غلظت صفرا در سرم (که در غلظت‌های بالا سمی است) و کاهش ترشح صفرا به داخل روده است (Bouscarel *et al.*, 1998) که به وحیم ترشدن بیماری کبدی و ایجاد بیماری سیستمیک منجر می‌شود (Kountouras *et al.*, 1984). درنهایت با پیشرفت بیماری (Moezi *et al.*, 2004) فیروز و سیروز کبدی اتفاق می‌افتد.

کلستاز موجب افزایش تولید پروستاگلاندین‌ها، کلسترول، بیلی-روین، آلکالین فسفاتاز و افزایش سطح نمک‌های صفراوی در خون می‌شود. کلستاز همچنین باعث اندوتوكسمی، افزایش تولید نیتریک اکساید (Moezi *et al.*, 2004) ایجاد تغییرات عروقی، افزایش سطح اپوئیدهای درونزاد (Borhani *et al.*, 2005) و کاهش حافظه نیز می‌شود (Hajrasouliha *et al.*, 2004; Hasanein *et al.*, 2007; Zarrindast *et al.*, 2012).

کلستاز در هنگام بارداری (Molina *et al.*, 1998; Jones *et al.*, 1999; Matthai *et al.*, 2001) و نوزادی مشاهده گردیده است. کلستاز بازداری (Shamsoddini *et al.*, 2004) شود و کلستاز نوزادی بر اثر آترزی مجرای صفراوی و هپاتیت آیدیوپاتیک به وجود می‌آید. تظاهرات کلاسیک کلستاز شامل زردی و خارش است. علاوه بر آن، تظاهرات بالینی دیگری مانند خستگی، اختلالات استخوانی (May *et al.*, 1995) برادی-کاردی، تغییر در عملکرد تنفسی و ریه‌ها و نارسایی کلیه نیز مشاهده می‌شود (Heidenreich *et al.*, 1987; Gaskari *et al.*, 2002; Farajzadeh Deroee *et al.*, 2010).

هیپوتالاموس منطقه کوچکی از مغز است که در عقب و پایین مغز جلویی و در جلو و بالای مغز میانی قرار دارد. هیپوتالاموس

(Merck) از آن برش‌های ۶ میکرونی گرفته شد. رنگ آمیزی با هماتوکسیلین-ائوزین (H&E) انجام شد و روی لامها، لام چسبانده شد. برش‌های مقاطع بافتی مغز در ناحیه هیپوتالاموس توسط میکروسکوپ نوری (Zeiss) تحت بررسی قرار گرفت و با استفاده از میکروگراف‌های تهیه شده از این لامها، اختلافات بافتی گروه‌های تجربی در مقایسه با گروه شاهد بررسی شد. به منظور شمارش سلولی از نرم‌افزار ImageJ استفاده شد (Lavazza *et al.*, 2010). ضخامت هسته‌های SON و PVN، با قراردادن گراتیکول در اوکولر میکروسکوپ نوری از ابتدا تا انتهای هسته‌ها بر حسب میکرومتر اندازه گیری شد.

### روش و ابزار گردآوری اطلاعات

محاسبه‌ها با استفاده از تحلیل واریانس یک‌طرفه برای مقایسه گروه‌ها توسط نرم‌افزار SPSS انجام شد. بعد از هر F معنی‌دار، تحلیل به کمک Post hoc tukey test ادامه یافت. از لحاظ آماری  $P$  کمتر از ۰/۰۵ معنی دار فرض شد.

### نتایج

**الف - یافته‌های کیفی:** مشاهدات میکروسکوپی نشان‌دهنده تغییرات بافتی در هسته‌های فوق‌بصری (SON) و مجاور-بطنی (PVN) هیپوتالاموس در حیوانات کلستاز شده است. در موش‌های کلستاتیک تراکم نورون‌های تشکیل‌دهنده هسته‌های PVN و SON کاهش یافته و مورفولوژی سلول‌های تشکیل-دهنده تغییر کرده است و سلول‌ها کوچک و چروکیده شده‌اند. همچنین هتروکروماتینه شدن سلول‌ها و ائزوپنوفیله شدن بافت هسته‌ها مشاهده شد. در شکل ۱ مقایسه اسلامیدها نشان می‌دهد که هیچ تغییری در بافت هسته SON در گروه‌های کنترل و شم (B، C) قابل مشاهده نیست. در صورتی که با بررسی این دو گروه با D (گروه کلستاتیک)، فاصله گرفتن سلول‌ها در اثر نکروز قابل رویت است. همچنین در شکل ۲ عکس‌های A، B و C که گروه‌های کنترل و شم هسته PVN را نشان می‌دهند، تغییری در ساختار این هسته ایجاد نشده است، در صورتی که در D، که نمونه کلستاتیک است، هتروکروماتینه شدن هسته‌ها و ایجاد فضای خالی اطراف سلول‌ها نشان مرگ سلولی است که در حالت کلستاتیک به میزان زیادی در بافت هسته PVN

موش صحرای آزمایشگاهی نر نژاد ویستار با وزنی حدود ۲۵۰-۲۰۰ گرم و سن متوسط هشت‌هفته، در مرکز تکثیر حیوانات دانشگاه خوارزمی، در وضعیت کنترل شده با دمای ۲۵-۲۰ درجه سانتی‌گراد و سیکل ۱۲ ساعت روشنایی ۱۲ ساعت تاریکی قرار گرفتند. کلیه موش‌ها دسترسی آزادانه به آب آشامیدنی و غذای مخصوص حیوانات آزمایشگاهی داشتند و در وضعیت یکسان نگهداری شدند.

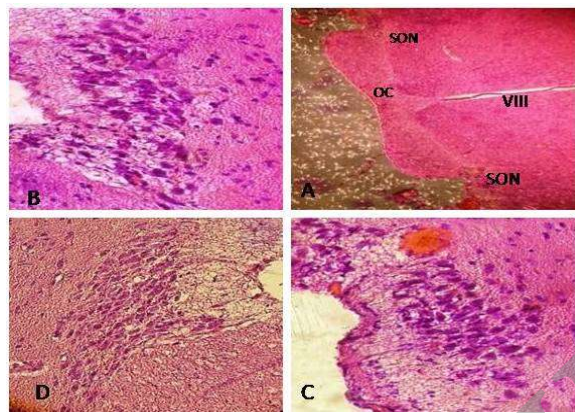
### جراحی کلستاز

موش‌ها به سه گروه هفت‌تایی کنترل، شم (جراحی ساختگی بدون بستن مجراء) و کلستاز (بستن مجراء صفوایی) تقسیم شدند. برای جراحی شم و کلستاز، ابتدا موش‌ها با استفاده از کتامین هیدروکلراید ۱۰ درصد و زایلازین ۲ درصد بی‌هوش شدند. سپس به وسیله الکل سطح شکمی درست در زیر جناغ تا ۳ سانتی‌متر پایین‌تر از استخوان جناغ ضد عضوی شد و موهای این ناحیه با تیغ تراشیده و پوست و عضله در دو مرحله جدا برش زده شد. سپس با کمک پنس سر کج مجراء صفوایی مشترک از زیر کبد خارج شد و بعد از جداسازی رگ خونی، دو طرف مجراء با نخ سیلک بسته و درنهایت بین دو گره به وسیله قیچی بریده و مجرأ قطع شد. در گروه شم تمام مراحل پیش‌گفته برای عمل کلستاز صورت گرفت، ولی مجراء بسته نشد. دو روز بعد از مسدود کردن مجراء صفوایی در حیوانات نشانه‌های کلستاز (زردی، ادرار تیره و اسهال چرب) مشاهده شد که به عنوان شاخص ایجاد کلستاز در نظر گرفته شد.

### روش بررسی بافتی

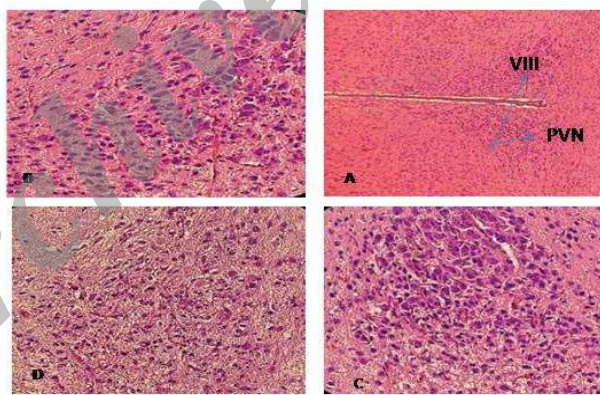
دو و چهار هفتۀ پس از کلستاز، برای خارج کردن مغز، ابتدا سر حیوان بی‌هوش از ناحیه گردن جدا و پس از قیچی کردن پوست و عضلات، سطح جمجمه باز شد و این عمل بدون آسیب به مغز و درنهایت دقت انجام گرفت. مغزهای جادا شده پس از شست و شو در سرم فیزیولوژی در محلول فیکسانیوفرمالین ۱-۱۰ درصد قرار گرفت تا به طور کامل ثبیت شوند. مراحل آماده-سازی شامل آب‌گیری با درجات صعودی الکل اتیلیک و شفاف‌سازی به وسیله تولوئن بود. بافت پس از شفاف‌سازی به حمام پارافین منتقل شد و پس از قالب‌گیری با پارافین

مشاهده می‌شود. انسجام بافتی دو گروه قبل نیز در این گروه مشاهده نشد. با مقایسه شکل ۳ کلستاز دوهفته‌ای و چهارهفته‌ای افزایش تغیرات بافتی به خصوص در هسته PVN دیده می‌شود.



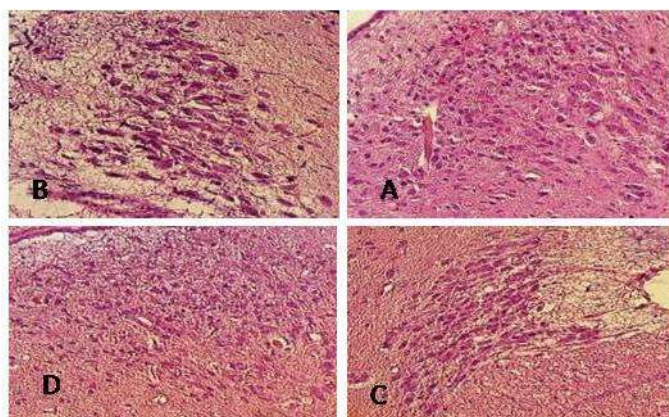
شکل ۱ - هسته‌های فوق‌بصری در هیپotalاموس گروه کنترل، اسالید A (بزرگنمایی  $\times 10$ )، اسالید B (بزرگنمایی  $\times 100$ )، گروه شم اسالید C (بزرگنمایی  $\times 100$ )، گروه کلستاز اسالید D (بزرگنمایی  $\times 100$ ). با مقایسه تصاویر گروه کنترل و گروه شم تغییر خاصی قابل مشاهده نیست، ولی گروه کلستاز با کاهش تراکم بافتی، نکروز و هتروکروماینی‌شدن هسته فوق‌بصری همراه است. هسته فوق‌بصری: SON، اپتیک کیاسما: OC، بطن سوم: VIII (رنگ آمیزی H&E).

Fig. 1. Supra optic nucleus of hypothalamus, A: Control (10X), B: Sham (100X), C: Cholestatic (100X). Brain tissue necrosis and wrinkle chromatic nuclei in supra optic nucleus in cholestatic rats were increased, but in the sham and control rats no changes were observed (H&E).



شکل ۲ - هسته‌های مجاور بطنی در هیپotalاموس گروه کنترل، اسالید A (بزرگنمایی  $\times 40$ ) و اسالید B (بزرگنمایی  $\times 100$ )، اسالید C گروه شم (بزرگنمایی  $\times 100$ )، اسالید D گروه کلستاز (بزرگنمایی  $\times 100$ ). با مقایسه بافت گروه کنترل و گروه شم تغییر خاصی قابل مشاهده نیست، ولی گروه کلستاز با کاهش تراکم بافتی، نکروز و هتروکروماینی‌شدن هسته مجاور بطنی همراه است. هسته مجاور بطنی: PVN، بطن سوم: VIII (رنگ آمیزی H&E).

Fig. 2. Para ventricular nucleus of hypothalamus, A: Control (40X), B: Sham (100X), C: Cholestatic (100X). Brain tissue necrosis and wrinkle chromatic nuclei in Para ventricular nucleus in cholestatic rats were increased, but in the sham and control rats no changes were observed (H&E).



شکل ۳- اسلاید A هسته فوق بصری دوهفته پس از کلستاز، اسلاید B هسته فوق بصری چهارهفته پس از کلستاز، اسلاید C هسته مجاور بطنی دوهفته پس از کلستاز، اسلاید D هسته مجاور بطنی چهارهفته پس از کلستاز. افزایش میزان نکروز در چهارهفته پس از کلستاز در هر دو هسته قابل مشاهده است (رنگ آمیزی H&E بزرگنمایی  $\times 40$ ).

Fig. 3. A: Supra optic nucleus two weeks after BDL. B: Supra optic nucleus four weeks after BDL. C: Para ventricular nucleus two weeks after BDL. D: Para ventricular nucleus four weeks after BDL. Tissue necrosis in two nuclei were increased after four weeks (H&E- 40X).

دست آمده از ضخامت این هسته ها، به صورت جدول مقایسه ای حاصل شد. همچنین درصد نکروز در بافت هسته های مجاور بطنی و فوق بصری محاسبه شد که نسبت به نمونه های کنترل و شم (جدول ۲) افزایش یافته است.

**ب - یافته های کمی:** با بررسی مورفولوژی هر یک از هسته های SON و PVN و هیپوتالاموس این نکته به دست آمد که در اثر کلستاز و نکروز بافتی که در هسته های مورد نظر ایجاد شده، افزایش ضخامت در SON و PVN دیده می شود و اعداد به

جدول ۱- ضخامت هسته های مجاور بطنی و فوق بصری در گروه های کنترل، شم و کلستاز.  $p < 0.05$ . Mean  $\pm$  SE

Table 1. Supra optic and Para ventricular nuclei thickness in control, sham and cholestasis. Mean  $\pm$  SE,  $p < 0.05$ .

ضخامت هسته فوق بصری ( $\mu\text{m}$ )	ضخامت هسته مجاور بطنی ( $\mu\text{m}$ )	گروه
$27/14 \pm 3/2$	$192/85 \pm 5/2$	کنترل
$29/28 \pm 2/5$	$195/71 \pm 4/8$	شم
$41/42 \pm 1/4 *_{\Delta\Delta}$	$234/28 \pm 7/5 *_{\Delta\Delta}$	دو هفته پس از کلستاز
$42/14 \pm 2/1 *_{\Delta\Delta}$	$221/42 \pm 3/2 *_{\Delta\Delta}$	چهار هفته پس از کلستاز

\* در مقایسه با گروه کنترل و \*\* در مقایسه با گروه شم

جدول ۲- درصد نکروز در هسته‌های مجاور بطنی و فوق بصری در گروه‌های کنترل، شم و کلستاز،  $p<0.05$ . Mean  $\pm$  SE.

Table 2. Supra optic and Para ventricular nuclei necrosis percentages in control, sham and two or four weeks after cholestasis. Mean  $\pm$  SE,  $p<0.05$ .

درصد نکروز	درصد نکروز	گروه
۱۹/۹ $\pm$ ۰/۴۹	۱۴/۲۸ $\pm$ ۰/۴۲	کنترل
۱۷/۲ $\pm$ ۰/۷۱	۱۴/۸۷ $\pm$ ۰/۴۱	شم
۳۲/۸۵ $\pm$ ۰/۷۸ * <sup>‡</sup>	۳۱/۷ $\pm$ ۱/۲ * <sup>‡</sup>	دو هفته پس از کلستاز
۴۷/۱۵ $\pm$ ۰/۴۹ * <sup>‡</sup>	۴۰/۱ $\pm$ ۳/۲ * <sup>‡</sup>	چهار هفته پس از کلستاز

\* در مقایسه با گروه کنترل و <sup>‡</sup> در مقایسه با گروه شم و <sup>‡</sup> در مقایسه با کلستاز دو هفته

## بحث

در آغاز آسیب‌های عصبی شرکت دارد (Huerta *et al.*, 2002)

علاوه بر موارد گفته شده، کلستاز مرتبط با افزایش آندوتوكسین‌ها می‌باشد و آندوتوكسین‌ها نیز در مغز آسیب باشد (Harry *et al.*, 1999). بنابراین، احتمال دارد که آسیب بافتی مشاهده شده در نمونه‌های کلستازیس در هسته‌های هیپوتالاموسی، که در این مطالعه به آن اشاره شده است، با افزایش آندوتوكسین‌ها مرتبط باشد که طبق مطالعات گذشته در کلستاز رخ می‌دهند.

مطالعات نشان داده‌اند که کلستاز، با تغییر میزان هورمون واژوپرسین نیز هماهنگ است. تحقیقات نشان داده که ترشح واژوپرسین در موش‌های BDL افزایش می‌یابد (Doignon *et al.*, 2011; Cunningham *et al.*, 2012) افزایش واژوپرسین در سیروز کبدی می‌تواند به علت کاهش زیاد در حجم و فشار خون باشد (Cunningham *et al.*, 2012). محققان اعلام کرده‌اند که تحریک ترشح واژوپرسین در موش‌های کلستازیس، احتمالاً کبد را دربرابر استرس‌های تنفسی و ازدیاد اسیدهای صفرایی محافظت می‌کند (Moezi *et al.*, 2004). افزایش تعدادی از فاکتورها از جمله نمک‌های

با توجه به یافته‌های این مطالعه، کلستاز می‌تواند باعث افزایش آسیب بافتی، نکروز، هتروکروماینیشن و افزایش ضخامت در هسته‌های فوق بصری و مجاور بطنی شود. محققان نشان داده‌اند، در موش‌هایی که مجرای صفرایی آنها بسته می‌شود هایپرآمونیا رخ می‌دهد که به فعالیت میکروگلیال در مغز می‌انجامد و درنهایت منجر به التهاب نورونی و یا عصبی منجر می‌گردد (Rodrigo *et al.*, 2010). این التهاب مغزی و فعالیت میکروگلیاهای با تخریب نورون‌ها همراه است (Chaparro-Huerta *et al.*, 2002). به طور کلی، میکروگلیاهای فعل شده نقش مهمی در عملکردهای سایتو توکسیک در سیستم عصبی دارند که هایت به آسیب بافتی منجر می‌شود. محققان اظهار کرده‌اند که میکروگلیاهای فعل شده، ترکیبات سیتو توکسیک (NO، پروتاز، سیتوکیتلهای التهابی و TNF- $\alpha$ ) را آزاد می‌کنند (Vincent *et al.*, 1998). بنابراین هایپرآمونیا، که در جریان کلستاز رخ می‌دهد (Rodrigo *et al.*, 2010)، احتمالاً می‌تواند یکی از دلایل آسیب به هسته‌های فوق بصری و مجاور بطنی باشد که در مطالعه حاضر به آن اشاره شده است. همچنین طبق مطالعات صورت گرفته در سیروز کبدی، بیان (Tumor necrosis factor  $\alpha$ ) افزایش می‌یابد که

صفراوي، اندوتوكسينها و پروستاگلاندينها می‌تواند از دلایل کاهش فشار یا هیپوتنشن باشد.

به علاوه، سندرم کبدی-مغزی (هپاتیک اسفلالوپاتی) که در بیماران کلستاتیک گزارش شده است به دلیل تغیر در عملکرد و متابولیسم مغز و نیز تغییرات مورفوЛОژی در این بیماران ایجاد می‌شود (Moezi et al., 2004). این سندرم با کاهش فعالیت استیل کولین استراز، افزایش پرآکسیداسیون لیپید، تورم آstroرسیت‌ها و ادم در مغز موش‌های BDL همراه است که می‌تواند باعث تورم و دلیل افزایش ضخامت بافت هسته‌های فوق بصری و مجاور بطنی در این تحقیق باشد (Wright et al., 2004).

## منابع / References

- عریان، ش و ولیزادگان، ف. ۱۳۸۸. نورواندوکرینولوژی. انتشارات دانشگاه خوارزمی. ۴۹۶ ص. تهران
- Borhani, A., Houshmand, G., Samini, M., Narimanian, K., Hajrasouliha, A., Tavakoli, S. and Ebrahimi, F. 2005. A2 adenosine receptor subsensitivity in mesenteric vascular bed of cholestatic rats: The role of nitric oxide and endogenous opioids. – The European Journal of Pharmacology 514: 183-189.
- Bouscarel, B., Matzuzalzi, Y. and Lee, M. 1998. Changes in G-protein expression account for impaired modulation of hepatic cAMP formation after BDL ligation. – The American Journal of Physiology 274: 1151-1159.
- Cauli, O., Rodrigo, R., Liansola, M., Montoliu, C., Monfort, P. and Piedrafita, B. 2009. Glutamatergic and gabaergic neurotransmission and neuronal circuits in hepatic encephalopathy. – The Journal of Metabolic Brain Disease 24: 69-80.
- Chaparro-Huerta, V., Rivera-Cervantes, M., Torres-Mendoza, B. and Beas-Zarate, C. 2002. Neuronal death and tumor necrosis factor-α response to glutamate-induced excitotoxicity in the cerebral cortex of neonatal rats. – The Journal of Neuroscience Letters 333: 95-98.
- Cunningham, J.T., Nedungadi, T.H., Walch, J.D., Nestler, E.J. and Gottlieb, H.B. 2012.

FosB in the supraoptic nucleus contributes to hyponatremia in rats with cirrhosis. – American Journal of Physiol. Regulatory Integrative and Comparative Physiology 303: 177-185.

Doignon, I., Julien, B., Lanneau, V.S., Garcin, I., Alonso, G., Nicou, A., Monnet, F., Gigou, M., Humbert, L., Rainteau, D., Azoulay, D., Castaing, D., Gillon, M., Samuel, D., Duclos-Vallée, J.C.H. and Tordjmann, T.H. 2011. Immediate neuroendocrine signaling after partial hepatectomy through acute portal hyperpressure and cholestasis. – The Journal of Hepatology 54: 481-488.

Farajzadeh Deroee, A., Ghazi Nezami, B., Ejtemaei Mehr, S.H., Hosseini, R., Hassanzadeh Salmasi, A., Shafaat Talab, S., Jahanzaad, I. and Dehpour, A.R. 2010. Cholestasis induced nephrotoxicity: The role of endogenous opioids. – The Journal of Life Sciences 86: 488-492.

Gaskari, S.A., Mani, A.R., Ejtemaei-Mehr, S., Namiranian, K., Homayoun, H., Ahmadi, H. and Dehpour, A.R. 2002. Do endogenous opioids contribute to the bradycardia of rats with obstructive cholestasis? – The Journal of Fundamental & Clinical Pharmacology 16: 273-279.

Hajrasouliha, A.R., Tavakoli, S., Jabehdar-Maralani, P., Shafaroodi, H., Borhani, A.A., Houshmand, G., Sadeghipour, H., Dehghani, M. and Dehpour, A.R. 2004. Resistance of

cholestatic rats against epinephrine-induced arrhythmia: the role of nitric oxide and endogenous opioids. – *The European Journal of Pharmacology* 499: 307-313.

**Harry, D., Anand, R., Holt, S., Davies, S., Merley, R., Frnando, B., Goodier, D. and Moore, K.** 1999. Increased sensitivity to endotoxemia in the bile duct ligated cirrhotic Rat. – *The Journal of Hepatology* 30(5):1198-205.

**Hasanein, P., Parviz, M., Keshavarz, M., Javanmardi, K. and Ghaseminejad, M.** 2007. Modulation of cholestasis-induced antinociception in rat two NMDA receptor antagonists: MK-801 and magnesium sulfate. – *The European Journal of Pharmacology* 554: 123-127.

**Heidenreich, S., Brinkema, E., Martin, A., Dusing, R., Kipnowski, J. and Kramer, H.J.** 1987. The kidney and cardiovascular system in obstructive jaundice: functional and metabolic studies in conscious rats. – *The Journal of Clinical Science* 73: 593-599.

**Jones, E.A. and Bergasa, N.V.** 1999. The pruritus of cholestasis. – *The Journal of Hepatology* 29: 1003-1006.

**Kountouras, J., Billing, B.H. and Scheuer, G.W.** 1984. Prolonged bile duct ligation, a new experimental model for cirrhosis in the rat. – *The British Journal of Experimental Pathology* 305: 305-311.

**Lavazza, C., Carlo-Stella, C., Giacomini, A., Cleris, L. and Righi, M.** 2010. CD34 cells engineered to express membrane-bound tumor necrosis factor-related apoptosis-inducing ligand target both tumor cells and tumor vasculature. – *The Journal of Gastroenterology* 139: 675-684.

**Mani, A.R., Nahavandi, A., Mani, A.H. and Dehpour, A.R.** 2001. Role of nitric oxide in hypodipsia of rats with obstructive cholestasis. – *The Journal of Pharm Pharmacology* 53: 277-81.

**Matthai, J. and Poul, S.** 2001. Evaluation of cholestatic jaundice in Young Infants. – *The Journal of Indian Pediatrics* 38: 893-898.

**May, J.E.** 1995. View points on digestive diseases: Bone disease in cholestatic liver disease. – *The Journal of Gastroentrology* 108: 275-283.

**Mbarek, S., Saidi, T. and Chaouacha-Chekir, R.B.** 2012. Effect of Cadmium contaminated diet in controlling water behavior. – *The Journal of Neuroendocrinology and Behavior* 13: 65-73.

**Moezi, L., Rezayat, M., Samini, M., Shafaroodi, H., Ejtemie, S.H., Ebrahim Khani, M.R. and Dehpour, A.R.** 2004. Potentiation of anandamide effects in mesenteric beds isolated from bile duct-ligated rats: Role of nitric oxide optic tectom. – *The European Journal of Pharmacology* 489: 53-59.

**Moezi, L., Shafaroodi, H. and Dehpour, A.R.** 2006. Involvement of nitrenergic and opioidergic systems in the hypothermia induced by cholestasis in rats. – *The Journal of Pathophysiology* 13: 227-232.

**Molina, M.A., Martinez-Hugue, F., Asensi Monozo, M.T., Brines Solanes, J. and Codoner Franch, P.** 1998. Cholestatic-type hepatitis in childhood. – *The Journal of Anales Españoles de Pediatría* 49: 253-256.

**Otsubo, H., Onaka, T., Suzuki, H., Katoh, A., Ohbuchi, T., Todoroki, M., Fujihara, H., Yokoyama, T., Matsumoto, T. and Ueta, Y.** 2010. Centrally administered relaxin-3 induces Fos expression in the osmosensitive areas in rat brain and facilitates water intake. – *The Journal of Peptides* 31: 1124-1130.

**Reyes, H. and Simon, F.R.** 1993. Intrahepatic cholestasis of pregnancy: an estrogen - related disease. – *The Journal of Seminar in Liver Disease* 13: 289-301.

**Rodrigo, R., Cauli, O., Gomez, U., Agusti, A., Hernandez, V., Garcia, J. and Felipo, V.** 2010. Hyperammonemia Induces Neuroinflammation That Contributes to Cognitive Impairment in Rats With Hepatic Encephalopathy. – *The Journal of Blood* 115: 2231- 2239.

**Rothuizen, J.** 2009. Important Clinical Syndromes Associated with Liver Disease. – *Veterinary Clinics of North America Small Animal Practice Journal* 39: 419-437.

**Takahashi, A., Ishimaru, H., Ikarashi, Y., Kishi, E. and Maruyama, Y.** 2001. Opposite regulation of body temperature by cholinergic input to the paraventricular nucleus and supraoptic nucleus in rats. – *The Journal of Brain Research* 909: 102-111.

**Vincent, V.A.M., Tilders, F.J.H. and Van Dam, A.M.** 1998. Production, regulation and role of nitric oxide in glial cells. – *The Journal of Mediators of Inflammation* 7: 239-255.

**Wright, G., Davies, N.A., Shawcross, D.L., Hodges, S.J., Zwingmann, C., Brooks, H.F., Mani, A.R., Harry, D., Stadlbauer, V., Zou, Z., Williams, R., Davies, C., Moore, K.P. and Jalan, R.** 2007. Endotoxemia produces coma and Brain swelling in bile duct-ligated rats. – *The Journal of Hepatology* 45: 1517-26.

**Yool, A.J., Brown, E.A. and Flynn, G.A.** 2009. Roles for novel pharmacological blockers of aquaporins in the treatment of brain oedema and cancer. – *Proceedings of the Australian Physiological Society* 40: 71-78.

**Zarrindast, M.R., Hoseindoost, S. and Nasehi, M.** 2012. Possible interaction between opioidergic and cholinergic systems of CA1 in cholestasis-induced amnesia in mice. – *The Journal of Behavioural Brain Research* 228: 116-124.